

九州大学 工学部 正会員 平野 宗夫
九州大学 大学院 学生員 川辺 正敏

1. まえがき

側岸浸食を作り流路変動については、最近いくつかの研究がなされており、筆者や村本¹⁾らにより、側岸浸食式と流路変動式を組合せた拡幅の計算法が提案されている。しかし、それらの側岸浸食式については、その一般性に疑問のあることが指摘されており²⁾、信頼できる側岸浸食式の確立が強く望まれている。本報は前報³⁾で示した諸式について、その後行なわれた実験結果と比較し、その適用性を吟味しようとするものである。

2. 斜面における砂粒の移動方向

前報で示したように、定常状態における砂粒の移動方向と速度は、近似的に次式⁴⁾で表わされる。

$$\tan \gamma = \frac{\tan \theta}{\mu_k} \sqrt{\frac{T_{kc} \cos \theta}{T_*} \frac{\mu_k}{\mu_s}} \quad (1) \quad \frac{u_g}{u_d} = 1 - \sqrt{\frac{T_{kc} \cos \theta}{T_*} \frac{\mu_k}{\mu_s}} \quad (2)$$

ここに、 γ は砂粒の移動方向と流れ方向のなす角、 θ は斜面の傾斜角、 μ_k および μ_s はそれぞれ砂粒と河床の間の動摩擦係数および静止摩擦係数、 $T_* = u_d / s d$ 、 u_d は摩擦速度、 s は砂粒の水中比重、 d は粒径、 $T_{kc} = u_{kc}^2 / s g d$ 、 u_{kc} は限界摩擦速度、 u_g は砂粒の移動速度、 u_d は砂粒に作用する代表流速である。

上式の適用性を山本の実験結果³⁾により検討してみる。山本は砂粒をはりつけた固定床に砂粒を落下させ、その移動方向と速度を測定している。固定床における T_{kc} は移動床におけるそれと異なるので、まず山本のデータより、 $\theta = 10^\circ$ の場合の u_g と u_d の関係をプロットするとほぼ直線になるので、それを外挿して、 $u_g = 0$ に対する u_d を求めると、 $u_{d0} = 2 \text{ cm/s}$ となる。次に、式(2)より $u_{g0} = u_{kc} \cos \theta \sqrt{\mu_k / \mu_s}$ であるから

$$\tan \gamma = \frac{\tan \theta}{\mu_k} \frac{u_{d0}}{u_{kc}} \sqrt{\cos \theta} \quad (3)$$

となるので、式(3)より $\tan \gamma$ と $\tan \theta \sqrt{\cos \theta} / u_{d0}$ を求めくプロットすると、図-1 のようにかなりよい相関が認められる。また、 $u_{d0} = 2 \text{ cm/s}$ 、 $\mu_k = 0.7$ とすると図の直線となり、固定床において上式が成立すると考えられる。

3. 実験および結果の考察

実験に用いた水路は長さ 4 m、幅 0.20 m の片面アクリライト可変勾配水路で、図-2 に示すように、片側に溝を掘って通水し、拡幅状況を観測した。今回の実験は勾配 5° ($\sin \theta = 0.087$) やび 9.8° ($\sin \theta = 0.170$) で、前報の実験 ($I = 0.0040 \sim 0.0168$) に比しかなり急勾配で、現象が速いので、図-3 に示すように、横から写真撮影して河床高、水面高および水面幅を測定した。図に示すように、水路上に斜めに鏡を設置し、それらが同時に写るようにした。また、下流端で採取し、流砂量を測定した。これらの結果を前報で示した計算式に従い整理すると以下のようにある。

(1) 流砂量 q_B : 下流端で測定した流砂量 q_B を総流力 I に対してプロットしたところ、ほぼ次式の関係が成立することがわかった。

$$\frac{q_B}{I u_d} = K (T_* - T_{kc}) \quad (4)$$

なお、 $K = 7.8$ 程度となり、前報における値 $K = 2.7$ よりかか

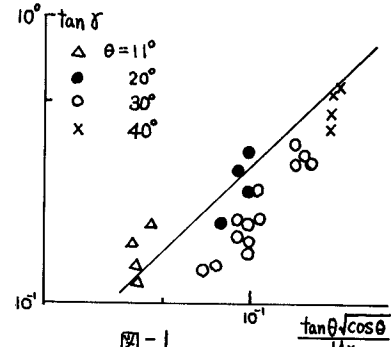


図-1

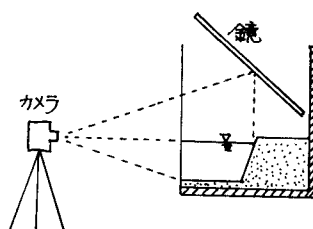


図-2 実験装置

大きい。

(2)側岸浸食量 δ_{BP} : $\delta_{BP} = \delta_B \tan \theta$ と考えられるから、式(1)と式(4)より

$$\delta_{BP} = K \frac{\tan \theta}{\mu} \sqrt{\frac{T_{*c} \cos \theta}{T_*}} (T_* - T_{*c}) U_* d \quad (5) \quad \text{ここに } \mu = \sqrt{\mu_s \mu_k}$$

となり、 $\tan \theta$ が重要なパラメーターとなる。また、 δ_{BP} と水面幅 b の変化の関係が近似的に次式

$$\frac{db}{dt} = \frac{\delta_{BP}}{(1-\lambda) G} \quad (6) \quad \text{ここに, } \lambda: \text{砂礫の空げきの割合, } G: \text{河床から天端までの高さ}$$

を考えるので、 b の測定値より δ_{BP} が逆算できる。そこで、次式

$$\frac{\tan \theta}{\mu} = \frac{\delta_{BP}}{K(T_* - T_{*c})} \sqrt{\frac{T_*}{T_{*c} \cos \theta}} \frac{1}{U_* d} \quad (7)$$

より $\tan \theta / \mu$ を計算し、 $\tan \theta$ は主として h/b (h は水深) によって規定されると思われるのを、 $\tan \theta / \mu$ と h/b をプロットすると、それと図-3 および図-4 のようになる。図によると、 $\tan \theta / \mu$ は h/b をプロットすると勾配ごとに大きく分れるのに対し h/b をプロットすると少なりよくまとまっている。しかし h/b がある限度以上に小さくなると $\tan \theta$ は h/b に無関係になると思われるが、 h/b の小さい範囲について実験する必要がある。

(3)拡幅量: 前報に示したように、 $\tan \theta \propto h/b$ とき、 $T_* \gg T_{*c}$ とすると 式(5), (6) より

$$t \propto b^{\frac{7}{3}} - b_0^{\frac{7}{3}} \quad (8) \quad \text{ここに, } t: \text{時間, } b_0: t=0 \text{ のときの } b \text{ の値}$$

となる。データより t と $b^{\frac{7}{3}}$ の関係をプロットすると図-5 のようになり、上記の関係をほぼ裏づけている。

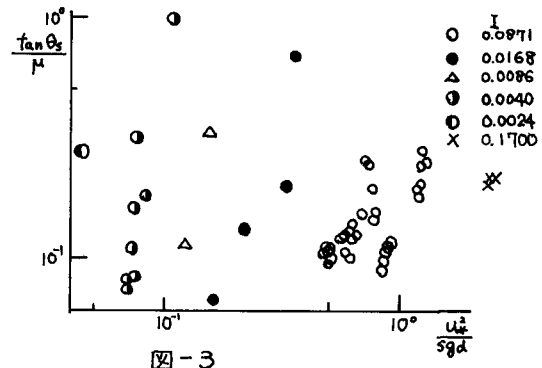


図-3

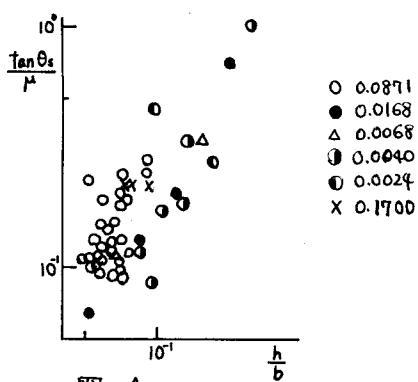


図-4

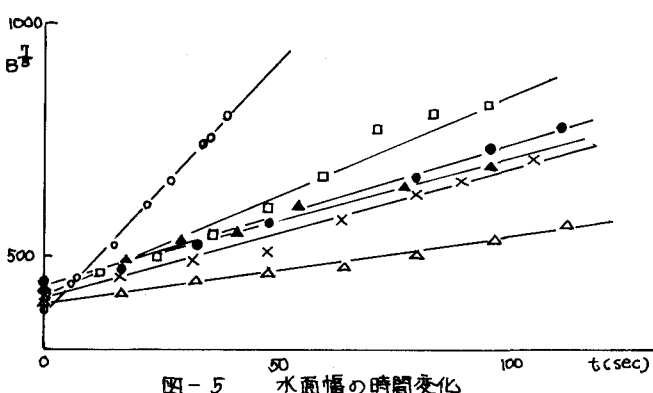


図-5 水面幅の時間変化

参考文献

- 1) 平野宗夫: 拡幅を伴う流路変動, 西部支那研究発表会論文集, 昭48, 2
- 2) 村本嘉雄, 藤田裕一郎: 河岸の浸食構造について, 土木学会年次学術講演会講演集, 昭和48, 1D
- 3) 山本晃一: 斜面の土砂粒子の移動実験, 土木学会年譲, 昭48, 10